

**ЭКСИТОНЫ И ПРИМЕСНЫЕ ЦЕНТРЫ  
В ПОЛУПРОВОДНИКОВОЙ СВЕРХРЕШЕТКЕ  
В МЕТОДЕ ЭФФЕКТИВНОЙ МАССЫ**

Ивченко Е. Л., Кавокин А. В.

Рассчитаны периодическая зависимость энергии связи электрона на доноре от положения примесного центра в короткопериодичной сверхрешетке и зависимость продольно-поперечного расщепления экситона  $\omega_{LT}$  от периода сверхрешетки  $d$ . Расчет проводился в методе эффективной массы с учетом непараболичности электронного минизонного спектра. Результаты сравниваются с экспериментальными данными по  $\omega_{LT}$ , полученными из спектров интерференционного отражения света от структур со сверхрешеткой.

*Введение.* Задача о мелком примесном центре в структуре с квантовыми ямами или сверхрешетке (СР) не имеет аналитического решения даже для простой зонной структуры исходных композиционных материалов. Она решалась численно вариационным методом для толстобарьерной сверхрешетки [<sup>1, 2</sup>] и сверхрешетки с барьераами произвольной толщины [<sup>3</sup>]. В данной работе для нахождения энергии связи  $\varepsilon$  электрона на доноре в короткопериодичной сверхрешетке используется метод эффективной массы. В этом методе уравнение Шредингера с гамильтонианом, включающим в себя сверхструктурный периодический потенциал, сводится к эквивалентному уравнению для электрона с минизонным энергетическим спектром  $E(\mathbf{k})$ , рассчитываемым в модели Кронига—Пенни. Мы покажем, что учет поправок к методу эффективной массы позволяет, избегая сложных численных расчетов, найти (периодическую) зависимость энергии  $\varepsilon$  от положения донора в гетероструктуре. Ранее [<sup>4</sup>] метод эффективной массы привлекался для расчета волновой функции и силы осциллятора 1s-экситона в сверхрешетке.<sup>1</sup> При этом в разложении минизонной энергии  $E(\mathbf{k})$  по степеням  $\mathbf{k}$  удерживались лишь параболические члены. Здесь мы проанализируем влияние непараболических слагаемых в  $E(\mathbf{k})$  на энергию связи электрона на доноре и состояние экситона в сверхрешетке.

### 1. М е л к и й п р и м е с н ы й ц е н т р

Рассмотрим композиционную СР, составленную из слоев типа *A* (квантовая яма) и *B* (барьер) с эффективными массами  $m_A$  и  $m_B$  в соответствующих объемных материалах. Введем суперблоховские огибающие волновой функции электрона в такой СР:

$$\chi_{\nu\mathbf{k}}(\mathbf{r}) = e^{i\mathbf{k}\mathbf{r}} U_{\nu\mathbf{k}}(z), \quad (1)$$

где  $\nu$  — индекс минизоны,  $\mathbf{k}$  — минизонный волновой вектор,  $U_{\nu\mathbf{k}}(z)$  — суперблоховская амплитуда, периодическая с периодом СР  $d=a+b$  ( $a$  и  $b$  — толщины слоев типа *A* и *B*) и нормированная условием

$$\int_s |U_{\nu\mathbf{k}}(z)|^2 dz = d. \quad (2)$$

<sup>1</sup> Сила осциллятора экситона в СР GaAs/Al<sub>x</sub>Ga<sub>1-x</sub>As рассчитывалась также в недавно опубликованной работе [<sup>5</sup>].

Разложим по функциям  $\chi_{\nu k}(\mathbf{r})$  волновую функцию электрона, локализованного на доноре в СР:

$$\varphi(r) = \sum_{\nu k} G_{\nu k} \chi_{\nu k}(r). \quad (3)$$

Энергию электрона в состоянии (3) можно представить в виде

$$E = T + V_{\nu k}, \quad T = \sum_{\nu k} E_{\nu}(k) |G_{\nu k}|^2, \quad V_{\nu k} = -\frac{e^2}{\epsilon} \int d\mathbf{r} \varphi^2(\mathbf{r}) \frac{1}{|\mathbf{r} - \mathbf{r}_i|}. \quad (4)$$

Здесь  $E_{\nu}(k)$  — энергия свободного электрона в регулярной СР,  $\mathbf{r}_i$  — положение донорного центра,  $\epsilon$  — диэлектрическая проницаемость. Переходя в выражении для «кинетической энергии»  $T$  от суммирования по  $k$  к интегрированию по  $\mathbf{r}$ , получим

$$T = \sum_{\nu} \int d\mathbf{r} G_{\nu}(\mathbf{r}) E_{\nu}(-i\nabla) G_{\nu}(\mathbf{r}), \quad (5)$$

где функция

$$G_{\nu}(\mathbf{r}) = \sum_{\mathbf{k}} e^{i\mathbf{k}\mathbf{r}} G_{\nu k}$$

описывает движение электрона относительно примесного центра. В СР с периодом, малым по сравнению с боровским радиусом, можно пренебречь смешиванием состояний из разных минизон. Поэтому для основного состояния нейтрального донора в (3)–(5) нужно положить  $\nu=1$ ; в дальнейшем индекс 1 у функций  $\chi_{\nu}$ ,  $U_{\nu}$ ,  $E_{\nu}(k)$  и  $G_{\nu}$  будет опускаться.

Пренебрегая при расчете кулоновской энергии зависимостью  $U_k(z)$  от  $k$ , получаем после некоторых преобразований

$$\begin{aligned} V_{\nu k} &= V_{\nu k}^0 + \Delta V_{\nu k}, \\ V_{\nu k}^0 &= -\frac{e^2}{\epsilon} \int G^2(\mathbf{r}) \frac{d\mathbf{r}}{|\mathbf{r} - \mathbf{r}_i|}, \\ \Delta V_{\nu k} &= -\frac{e^2}{\epsilon} \int G^2(\mathbf{r} + \mathbf{r}_i) [U_0(z + z_i) - 1] \frac{d\mathbf{r}}{r}. \end{aligned} \quad (6)$$

В короткопериодичной СР вклад  $\Delta V_{\nu k}$  мал и состояние локализованного электрона удовлетворяет уравнению Шредингера

$$\left[ E(-i\nabla) - \frac{e^2}{\epsilon |\mathbf{r} - \mathbf{r}_i|} \right] G(\mathbf{r}) = (E^0 - \varepsilon) G(\mathbf{r}), \quad (7)$$

где  $E^0$  — энергия электрона на дне нижней минизоны,  $\varepsilon$  — энергия связи. В параболическом приближении

$$E(k) = E^0 + \frac{\hbar^2 k_{\parallel}^2}{2m_{\parallel}} + \frac{\hbar^2 k_{\perp}^2}{2m_{\perp}}, \quad (8)$$

где  $z$  — главная ось СР,  $m_{\parallel}$  и  $m_{\perp}$  — эффективные массы электрона в минизоне  $\nu=1$ , которые можно рассчитать в модели Кронига—Пенни (см. [4]). При вариационном методе решения уравнения (7) хорошие результаты для 1s-состояния дает простейший выбор пробной функции [6, § 27]:

$$G(\rho, z) = \frac{1}{\sqrt{\pi a_{\parallel} a_{\perp}^2}} \exp \left[ -\left( \frac{\rho^2}{a_{\perp}^2} + \frac{(z - z_i)^2}{a_{\parallel}^2} \right)^{1/2} \right], \quad (9)$$

где  $\rho = (\mathbf{r} - \mathbf{r}_i)_{\perp}$ ,  $a_{\perp}$  и  $a_{\parallel}$  — вариационные параметры. В этом случае

$$\begin{aligned} T &= E^0 + \frac{1}{3} \left( 2 + \frac{\gamma}{1 - \alpha^2} \right) \left( \frac{a_B^{\perp}}{a_{\perp}} \right)^2 E_B^{\perp}, \\ V_{\nu k}^0 &= -2E_B^{\perp} \frac{a_B^{\perp}}{a_{\perp}} \frac{\arcsin \alpha}{\alpha}, \end{aligned} \quad (10)$$

где

$$\begin{aligned} \alpha^2 &= (a_{\perp}^2 - a_{\parallel}^2)/a_{\perp}^2, \quad \gamma = m_{\perp}/m_{\parallel}, \quad E_B^{\perp} = m_{\perp} e^4 / 2\hbar^2 \epsilon^2, \\ a_B^{\perp} &= \hbar^2 \epsilon / m_{\perp} e^2. \end{aligned}$$

Минимизация функционала  $T + V_{\text{ку}}^0$  приводит к следующим уравнениям для  $a_\perp$  и  $\alpha$ :

$$a_\perp = a_B \frac{2}{3} \frac{\alpha^3}{\arcsin \alpha - \alpha \sqrt{1 - \alpha^2}},$$

$$\gamma = 2(1 - \alpha^2)^{3/2} \frac{\sqrt{1 - \alpha^2} \arcsin \alpha - \alpha}{\alpha \sqrt{1 - \alpha^2} - \arcsin \alpha}.$$
(11)

Отметим, что в случае слабой анизотропии эффективной массы соотношения (10), (11) в первом приближении по малому параметру  $(1 - \gamma)$  принимают вид

$$\alpha^2 = \frac{5}{7}(1 - \gamma), \quad a_\perp = a_B \left[ 1 - \frac{3}{14}(1 - \gamma) \right],$$

$$\varepsilon = \frac{e^4}{2\hbar^2 \kappa^2} \left( \frac{2}{3} m_\perp + \frac{1}{3} m_\parallel \right).$$
(12)

В СР с малым периодом

$$d \ll (m_{A,B} V / \hbar^2)^{-1/4},$$

где  $V$  — потенциальный барьер на интерфейсе, массы  $m_\parallel$ ,  $m_\perp$  связаны с эффективными массами  $m_A$ ,  $m_B$  в однородных материалах ямы и барьера простыми соотношениями

$$m_\parallel = \frac{m_A a + m_B b}{a + b}, \quad \frac{1}{m_\perp} = \frac{1}{a + b} \left( \frac{a}{m_A} + \frac{b}{m_B} \right).$$

Учитывая эмпирическую связь между массой  $m_B$  и составом  $x$  твердого раствора  $\text{Al}_x\text{Ga}_{1-x}\text{As}$ , можно убедиться в том, что в СР  $\text{GaAs}/\text{Al}_x\text{Ga}_{1-x}\text{As}$  при  $x \leq 0.4$  анизотропия эффективной массы не превышает 4 %. Поэтому значения  $m$  в (12) можно заменить на  $m_\perp$  или  $m_\parallel$  и в пределе  $d \rightarrow 0$  (в условиях  $a/b = \text{const}$ ):

$$\varepsilon \approx \frac{e^4}{2\hbar^2 \kappa^2} \frac{m_A m_B (a + b)}{am_A + bm_B} \approx \frac{e^4}{2\hbar^2 \kappa^2} \frac{am_A + bm_B}{a + b}.$$

Ранее этот предельный случай был проанализирован в [2].

Энергии  $T$  и  $V_{\text{ку}}^0$  не зависят от положения донора в СР. Такая зависимость возникает при учете поправки  $\Delta \varepsilon = -\Delta V_{\text{ку}}$  к энергии связи, которую можно рассматривать как аналог химического сдвига энергии основного состояния мелкого примесного центра в однородном полупроводнике. Разложим периодическую функцию  $U_0(z)$  в ряд Фурье

$$U_0(z) = \sum_{\beta} C_{\beta} e^{i\beta z},$$

где  $\beta = 2\pi l/d$ , ( $l = 0, \pm 1, \dots$ ). Используя интегральное соотношение

$$\int e^{i\beta q r} \frac{dr}{r} = \frac{4\pi}{q^2},$$

для короткопериодичной СР с  $d < a_B$  получаем

$$\Delta \varepsilon = 4K \sum_{\beta \neq \beta'} \frac{C_{\beta}^* C_{\beta'}}{(\beta - \beta')^2} e^{i(\beta' - \beta)z_i} = 4K \lim_{\eta \rightarrow +0} \frac{d}{d\eta} \int_0^\infty [U_0^2(z + z_i) - 1] e^{-\eta z} dz =$$

$$= K \left[ \frac{d^2}{3} + 2 \int_0^d U_0^2(z + z_i) \left( \frac{z^2}{d} - z \right) dz \right] = K \left( -\frac{d^2}{6} + R_1^2 - R_2^2 + 2z_i^2 \right),$$
(13)

где  $K = e^2/(\kappa a_\perp a_\perp^2)$ ,

$$R_1^2 = \frac{4}{d} \int_0^{d/2} U_0^2 \left( z + \frac{d}{2} \right) z^2 dz, \quad R_2^2 = 4 \int_0^{z_i} U_0^2(z) (z_i - z) dz.$$
(14)

Заметим, что при нормировке (2)  $R_2^2(Nd)=2(Nd)^2$ , где  $N$  — целое число, поэтому функция  $R_2^2(z_i)-2z_i^2$ , а значит, и функция  $\Delta\varepsilon(z_i)$  периодичны с периодом  $d$ .

Для нижней минизоны

$$U_0(z) = \begin{cases} C_a \cos k(z - \bar{z}_a) & \text{в ямах,} \\ C_b \operatorname{ch} x(z - \bar{z}_b) & \text{в барьерах.} \end{cases} \quad (15)$$

Здесь  $\bar{z}_{a,b}$  — положение центра соответствующей ямы или барьера,

$$k = (2m_A E^0 / \hbar^2)^{1/2}, \quad x = [2m_B(V - E^0) / \hbar^2]^{1/2},$$

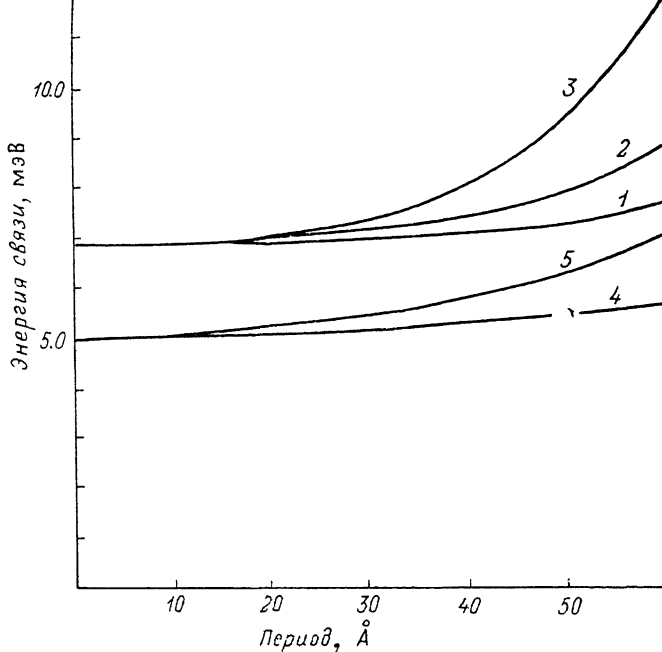


Рис. 1. Зависимость от периода  $d$  энергии связи электрона на доноре в центре ямы (1—3) и электронно-дырочной пары в экситоне (4, 5) в СР GaAs/Al<sub>0.35</sub>Ga<sub>0.65</sub>As с равной толщиной слоев  $a=b$ .

1, 4 рассчитаны в параболическом приближении, 3 — расчет с учетом «химического сдвига»  $V_{\text{хв}}$ , 2, 5 — расчет с учетом непарabolичности минизонного спектра  $E(k)$ .

выражения для коэффициентов  $C_a$  и  $C_b$  приведены в [4]. Подставляя (15) в (14), получаем при  $|z_i| < a/2$

$$R_1^2 = \frac{1}{4d} \left\{ C_a^2 \left[ \frac{d^3 - b^3}{3} - \frac{2b}{k^2} \cos ka + \frac{2d}{k^2} + \frac{1}{k^3} (k^2 b^2 - 2) \sin ka \right] + C_b^2 \left[ \frac{b^3}{3} - \frac{2b}{x^2} \operatorname{ch} xb + \frac{1}{x^3} (x^2 b^2 + 2) \operatorname{sh} xb \right] \right\}, \quad (16)$$

$$R_2^2 = C_a^2 \left( z_i^2 + \frac{\sin^2 kz_i}{k^2} \right), \quad (17a)$$

при  $a/2 \leq |z_i| \leq d/2$

$$R_2^2 = C_a^2 \left[ a \left( z_i - \frac{a}{4} \right) + \frac{1}{2k^2} (1 - \cos ka - ka \sin ka) + \frac{z_i}{k} \sin ka \right] + C_b^2 \left\{ \left( z_i - \frac{a}{2} \right)^2 + \frac{1}{2x^2} \left[ \operatorname{ch} 2x \left( z_i - \frac{d}{2} \right) - \operatorname{ch} xb \right] + \frac{1}{x} \left( z_i - \frac{a}{2} \right) \operatorname{sh} xb \right\}. \quad (17b)$$

На рис. 1 (кривые 1—3) представлена зависимость энергии связи электрона на доноре от периода СР, рассчитанная с использованием (10), (13) для СР GaAs/Al<sub>0.35</sub>Ga<sub>0.65</sub>As с  $a=b$ ,  $m_A=0.067 m_0$ ,  $m_B/m_A=1.44$ ,  $V=0.262$  эВ,  $x=12.5$ .

Кривые 1 и 2 рассчитаны соответственно без учета и с учетом поправки  $V_{\text{кул}}$ . При расчете кривой 3 в разложении (8) учтено непарараболическое слагаемое

$$\Delta E(\mathbf{k}) = \Lambda k_z^4. \quad (18)$$

Используя дисперсионное уравнение для энергии  $E(\mathbf{k})$  в модели Кронига—Пенни, можно показать, что

$$\begin{aligned} \Lambda &= -\frac{\hbar^2}{8m_{||}} \left( \frac{d^3}{3} + \frac{\hbar^2}{m_{||}} D \right), \\ D &= \frac{f''}{f'} + 2 \left[ \frac{g'}{g} + \frac{(\sin ka)'}{\sin ka} + \frac{(\operatorname{sh} xb)'}{\operatorname{sh} xb} - \frac{k'}{k} - \frac{x'}{x} \right], \\ f &= k (\operatorname{tg} \Phi_a - \eta \operatorname{th} \Phi_b), \quad g = x (\eta^{-1} \operatorname{ctg} \Phi_a + \operatorname{cth} \Phi_b), \end{aligned} \quad (19)$$

где

$$\Phi_a = \frac{ka}{2}, \quad \Phi_b = \frac{xb}{2}, \quad \eta = \frac{m_A x}{m_B k},$$

штрих означает дифференцирование по  $E^0$ . Оценки показывают, что коэффициенты при непарараболических членах  $k_z^3 k_{||}^2$  и  $k_z^4$  достаточно малы, и соответствую-

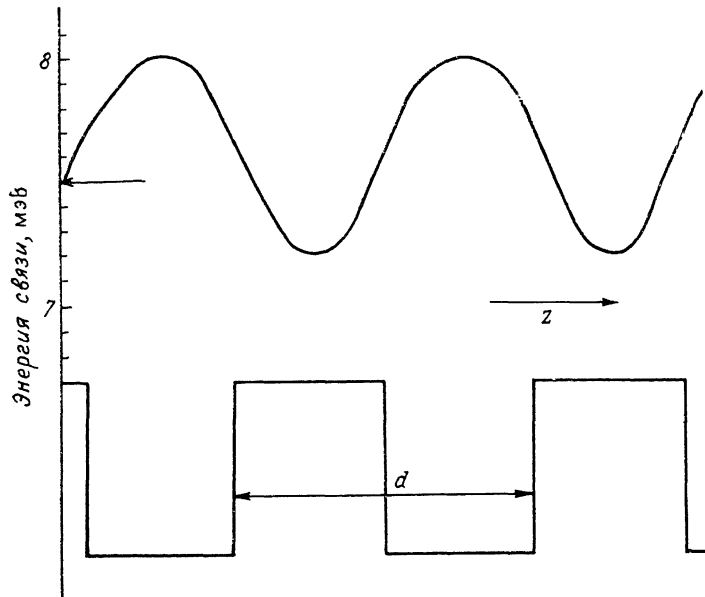


Рис. 2. Зависимость энергии связи электрона от положения примесного центра в СР  $\text{GaAs}/\text{Al}_{0.35}\text{Ga}_{0.65}\text{As}$  с периодом  $d=50 \text{ \AA}$  ( $a=b$ ).

Стрелкой указана энергия связи в пренебрежении поправкой  $\Delta V_{\text{кул}}$ . Для удобства, кроме кривой  $\epsilon(z_i)$ , изображен также сверхструктурный потенциал  $V(z)$ .

щими поправками к  $\epsilon$  можно пренебречь. Из сравнения кривой 3 с кривыми 1, 2 видно, что вклад непарараболичности (18) в энергию связи превышает химический сдвиг (13). Так как коэффициент  $\Lambda$  в (18) отрицателен, эффективная масса с увеличением энергии возрастает, чем и объясняется возрастание энергии связи при учете непарараболичности. В следующем разделе мы учтем  $\Delta E(\mathbf{k})$  при расчете состояния и силы осциллятора экситона в СР.

Зависимость энергии связи  $\epsilon$  от положения примесного центра в СР с периодом  $d=50 \text{ \AA}$  изображена на рис. 2. Естественно, что значение  $\epsilon$ , рассчитанное при  $\Lambda=0$ , лежит внутри области изменения  $\epsilon(z_i)$ . Разность энергий связи  $\epsilon(0)-\epsilon(a/2)$  для донора, расположенного соответственно в центре ямы и на интерфейсе, согласуется по порядку величины с результатом численного расчета [3].

Как и в [4], будем пренебречь туннелированием тяжелой дырки в барьер, считая, что продольные минизонные массы электрона и дырки удовлетворяют неравенству  $m_{\parallel} \ll m_{\perp}^h$ . В этом случае волновая функция  $f(\mathbf{r})$  относительного движения электрона и дырки в экситоне удовлетворяет уравнению

$$\left[ \frac{\hbar^2 \hat{k}_z^2}{2m_{\parallel}} + \frac{\hbar^2 \hat{k}_{\perp}^2}{2\mu_{\perp}} + \Delta E(\hat{\mathbf{k}}) - \frac{e^2}{\pi r} \right] f(\mathbf{r}) = -\epsilon_{\text{exc}} f(\mathbf{r}), \quad (20)$$

где  $\hat{\mathbf{k}} = -i\nabla$ ,  $\mu_{\perp} = m_{\perp}m_{\perp}^h/(m_{\perp} + m_{\perp}^h)$ ,  $m_{\perp}^h$  — эффективная масса для движения дырки в плоскости слоя ( $x, y$ ), поправка  $\Delta E(\mathbf{k})$  определена в (18),  $\epsilon_{\text{exc}}$  — энер-

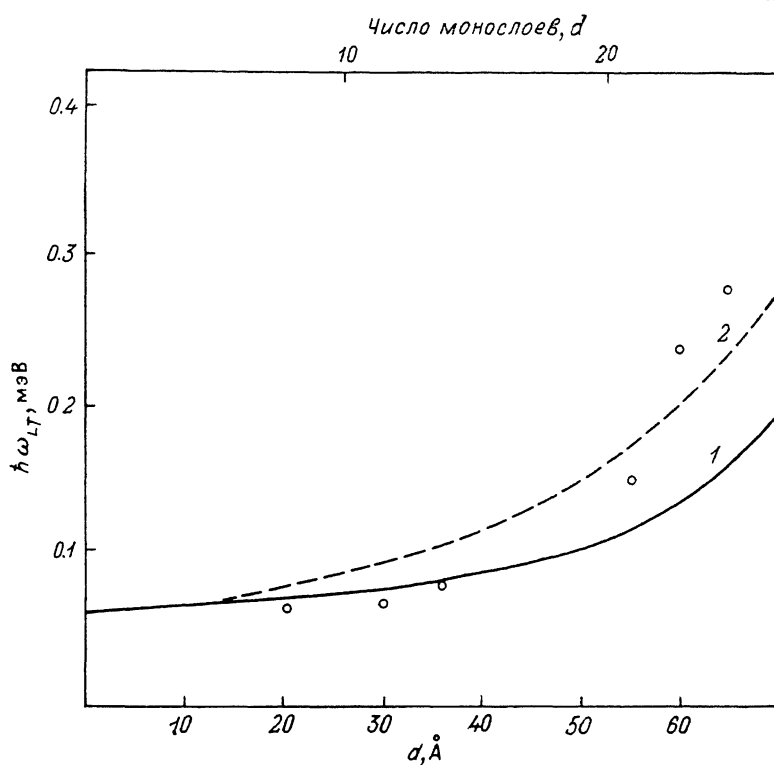


Рис. 3. Зависимость продольно-поперечного расщепления экситона от периода СР GaAs/  
Al<sub>0.35</sub>Ga<sub>0.65</sub>As с  $a=b$ .

Точки — эксперимент [4], кривые — расчет в параболическом приближении (1) и с учетом непараболичности электронного минизонного спектра (2).

гия связи экситона. В качестве пробной функции возьмем также экспоненту (9) с двумя вариационными параметрами  $a_{\parallel}$  и  $a_{\perp}$ , положив в (9)  $z_i=0$ . Для вклада непараболичности в энергию связи в первом порядке получаем

$$\Delta\epsilon_{\text{exc}} = \Lambda a_{\parallel}^{-4}.$$

Из двух уравнений (11) для  $a_{\perp}$  и  $\alpha$  в задаче об экситоне первое сохраняет свой вид, а к правой части второго добавляется слагаемое  $6\Lambda/(a_{\parallel}a_B^{\perp})^2$ , где  $a_B^{\perp} = \hbar^2 k / \mu_{\perp} e^2$ . Продольно-поперечное расщепление  $\hbar\omega_{LT}^{(SL)}$  экситона в СР рассчитывалось по формуле (18) в [4]. На рис. 1 (кривые 4, 5) изображена зависимость  $\epsilon_{\text{exc}}(d)$  соответственно при  $\Lambda=0$  и значениях  $\Lambda$ , найденных из (19). На рис. 3 представлена зависимость  $\hbar\omega_{LT}^{(SL)}(d)$ . Видно, что учет непараболичности дает значительную поправку, относительная величина которой возрастает с увеличением периода СР.

В заключение отметим, что развитый здесь подход можно использовать для СР с периодом, значения которого ограничены сверху боровским радиусом

связанного электрона или экситона и снизу пределом применимости модели Кронига—Пенни.

Авторы благодарны Г. Е. Пикусу за полезное обсуждение работы.

#### Список литературы

- [1] Jia-Lin Zhu // Phes. Rev. 1989. V. B40. N 15. P. 10529—10534.
- [2] Liu Z., Ma D. // J. Phys. C: Sol. St. Phys. 1986. V. 19. N 15. P. 2757—2766.
- [3] Lane P., Greene R. L. // Phys. Rev. 1986. V. 33. N 8. P. 5871—5874.
- [4] Ivchenko E. L., Kochereshko V. P., Kop'ev P. S., Kosobukin V. A. Ural'tsev I. N., Yakovlev D. R. // Sol. St. Commun. 1989. V. 70. N 5. P. 529—534.
- [5] Dignam M. M., Sipe J. E. // Phys. Rev. 1990. V. B41. N 5. P. 2865—2878.
- [6] Бир Г. Л., Пикус Г. Е. Симметрия и деформационные эффекты в полупроводниках. М., 1972. 584 с.

Физико-технический институт  
им. А. Ф. Иоффе АН СССР  
Санкт-Петербург

Получена 4.03.1991  
Принята к печати 19.06.1991

---